

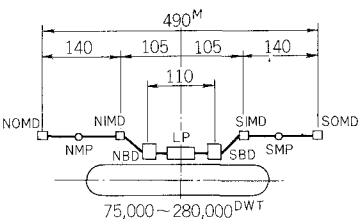
出光興産北海道製油所 石郷岡 三郎
 鹿島建設技術研究所 正員。三村 長二郎
 " " 藤田 時男

1 まえがき 近年、シーバースから原油や鉱石などを荷揚げする施設として各地で築造されるようになったが、従来そのほとんどは泊地や港内に築造されていて。しかし船舶の大型化あるいは工場の立地条件の関係から、外海の波浪を直接受けける沖合にも築造する要求が増え、その初めの例として出光北海道シーバースが建設された。

こうしたシーバースの設計では設計外力として、船舶の接岸時衝撃力より、係留中の船体がうねりを受けて動搖した時に生じる衝撃力の方が大きくなる点に特徴がある。この種の衝撃力に関する研究はまだ少なく、例えは船体が横波を受けた時にもたらす衝撃力を水槽実験で補いながら解析したもの⁽¹⁾、入射波の入射角が考慮されていなかった。船体を隋円柱体とせなして解析したもの⁽²⁾、あるいは有限水深での矩形断面浮体の運動を解析したもの⁽³⁾⁽⁴⁾、扶水槽実験で実験的に研究したもの⁽⁵⁾などがある。しかしこれらの研究にはそれそれ種々の条件が設けられており、この種の構造物の設計に応用しようとする場合にはその適用性が必ずしも明らかではない。そこで、これら適用性を調べるとともに、今後この種の設計を発展させてゆく場合の参考にするため、実際の挙動を出光北海道シーバースにおいて測定しているが、ここではその結果の一端を報告するものである。

2 構造物と測定器 出光北海道シーバースは苫小牧港の沖合約3kmで水深が約25mの所にあって、その構成は図-1に示すとおりである。南側および北側フレスティング・ドルフィンはジャケット形式の構造で、その前面には長さ3mの大型セル式防舷材が3基づつ取付けられている。また各ムアリング・ドルフィンは斜組立形式の構造である。測定項目としては、外力の条件となる気象海象状態、係留船体の動搖状態、それにフレスティング・ドルフィンの挙動であり、そのため表-1に示すように諸測定器をシーバースの各位置に取付けた。これらの計器はその一部を除いて、アンローディング・プラットフォーム上の計測室内で集中操作される。

3 測定結果 当シーバースは外洋シーバースと言っても、外洋に面するのはS~SE方向であり、また卓越波向はS方向である。そのため横波(SW方向)のもとで測定できる機会は少しく、これまでの測定例は船尾斜後方からの波に対するものである。図-2に示した(ケース1)では気象海象とも比較的穏やかなもので、船体の動搖状態としてRollingは微少であり、Swayingが若干おられた程度であった。このSwayingに伴って生じた防舷材の圧縮変形状況は図-2に示す波形の如くで、これはフレスティング・ドルフィン1基あたり約300°程度の衝撃力に相当する。ただしこの波形には周期性がある、衝撃力の作用周期は約50secで、防舷材が変形してから時間は約7secである。この時のフレスティング・ドル



(注) N(北側), S(南側)
 OMD; 外側ムアリング・ドルフィン
 IMD; 内側 " " "
 BD; フレスティング・ドルフィン
 LP; アンローディング・プラットフォーム
 MP; 中間ピア

図-1 出光北海道シーバースの構成

種別	名 称	数 量	位 置
気象 海象 関係	風 向 風 速 計	1	LP
	流 向 流 速 計	1	NMP
	ステップ式波高計	1	LP
	容 量 式 波 高 計	1	SOMD
	波 向 計	1	NMP
構造物 関係	防 舷 材 变 形 計	4	SBD, NBD
	ストレイン・ゲージ	40	SBD, NBD
	電子光学式変位計	1	LP~BD
船体 関係	ローリング 計	1	甲板上
	係 留 素 張 力 計	4	SOMD, SIMD

表-1 諸測定器

この変形は、防舷材のそれと較べて僅かなので、防舷材と係留索から成る復元力系で Swaying の固有周期を概算してみると、この周期に該当している。したがってこの場合、船体は波の周期に対応して動搖しているのではなく、Swaying の固有振動が激起され卓越していった状態とせられる。

一方、(ケース・2)では有義波高にして3m弱、最大波高では5m弱とかなり大きな波高の状況下にあって、しかし船体の Yawing は殆どなく Swaying は大きくて1m程度、また Rolling は片振幅で1°強しかなかった。そのため衝撃力も(ケース・1)と較べて若干大きい程度で、波高の割には大きくなかった。防舷材の压缩变形記録波形をみると、(ケース・1)のように明瞭ではないが、Swaying の固有周期とせられる約4secの周期がオーバーされる。しかし Rolling の記録波形より、その固有周期とせられるものは8sec強であって、波の周期と較べてあまり離れていない。したがって船体の動搖が波高の割に発達しなかつたのは、これらの固有周期と波の周期の対応關係より、むしろ波向の船尾斜後方であったことが重要な要因になつてゐるとせられる。

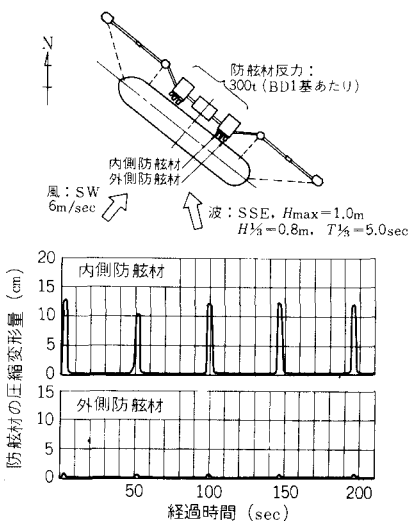
4 察察 係留中の船体がもたらす衝撃力を考慮する場合、横波の場合が最も厳しい衝撃力になるであろうから、構造設計では横波に対する象にはどうか、上記の状況を考えると離極条件や係留可能近似数の算定において、横波でない場合も重要なことがあわかる。また振動系としては、特に復元力特性と防舷材～係留索から成る系を考えることが重要で、係留索については初期張力も重要なようである。これに防舷材と係留索とでは復元力特性が著しく相違するので船体の動搖に重要な影響を及ぼし、防舷材を通じて作用する衝撃力と、係留索を通じて作用するけん引力とでは性状が異なつてくるからである。その他、余裕水深、あるいは Swaying と Rolling の位相関係なども重要な要因のようである。

5 あとがき 当測定にあたり出光興産北海道製油所からの多分の理解を、また鹿島建設土木設計本部および同社岩手小牧派出所から種々の助言やご配慮をいたさきましたことをここに深く感謝致します。

(共同研究者) 鹿島建設技術研究所：野尻陽一、竹田哲夫

(参考文献) (1) 永井ほか「横波を受けるタンカーの drifting, Swaying, rolling によるドリフトに作用する衝撃力の研究」第16回海岸工学講演集、1969. (2) 合田ほか「離れた船体近くの固定船体に働く波力の理論と実験」第1回船舶力学論文集第12号、1973. (3) 井島ほか「有限水深の波による矩形断面物体の運動と波の変形」日本学会論文集302、1972. (4) 伊藤ほか「浮遊構造物の水理に関する相似理論と応用」港研報告書第2号、1972. (5) 谷本ほか「橋式シーベースにおける波力問題」港研講演会講演集、1973.

(ケース・1)					
載荷重量 トン	排水トン (PP)	長さ m	幅 m	高さ m	吃水 m
(三光丸船) 113,258t	130,892t	243m	40m	22m	15.98m 12.6m 満載時 测定時



(ケース・2)					
載荷重量 トン	排水トン (PP)	長さ m	幅 m	高さ m	吃水 m
(出光タンカー) 139,328t	170,361t	276m	43m	22.2m	17.23m 8.2m 満載時 测定時

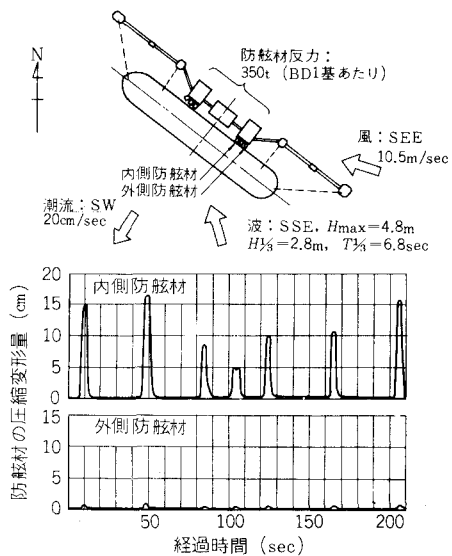


図-2 測定結果例